

東北大工学部 学生員 ○中島章典
東北大工学部 正会員 倉西 茂

1. はじめに

周期性軸力に対する柱(部材)の動的強度については、あまり研究が行なわれていないと思われる。そこで本研究では、最もきびしい周期性軸力であると思われるパラメトリック共振現象を示すような周期性軸力が、柱に作用する際の柱の動的挙動について、その基礎的性質を調べたものである。ここでは、応力-ひずみ関係を完全弾塑性型とした場合と、バウシンガー効果を考慮した場合、細長比、軸力の非周期性成分と周期性成分の大きさなどをパラメーターとして解析を行なっている。

2. 解析方法

幾何学的非線形性と材料非線形性を考慮した修正荷重増分法に、ニューマークの β 法($\beta=1/4$)を適用した数値計算方法を用いて、動的応答解析を行なっている。数値積分の時間刻みは、柱の曲げ振動の1次固有周期の $1/64$ とし、さらに時間刻みを $1/4$ としても收れんしない場合を崩壊状態とする。材料非線形として応力-ひずみ関係は完全弾塑性型とした場合と、引張側・圧縮側のどちらかで断面が降伏した後逆負荷、それに続く再負荷時には、バウシンガー効果を導入する場合を考えている。解析モデルは、図1のような長さ10mの箱型断面柱を用いた。細長比は、30, 60, 90, 120, 150、鉛直方向変位の拘束は柱中央部とし、柱に作用する周期性軸力Pは次式のように与えられるものとする。

$$P = P_{cr} (\alpha + \tau \sin \theta t) \quad (1)$$

ここに、 P_{cr} は $1/1000$ の元たわみをもつ柱の静的耐荷力を計算してその値とする。 α 、 τ はそれぞれ非周期性軸力成分、周期性軸力成分である。柱の固有円振動数に対して $\theta = 2\pi$ (主共振領域)で、 $\alpha = 0, 0.5$ について荷重周期は10サイクルを基準とした。また鋼材の降伏応力度は 2400 kg/cm^2 としている。

3. バウシンガー効果の導入

横尾・中村らの提案した非定常履歴応力-ひずみ関係式において、降伏棚上からひずみが反転した場合の応力-ひずみ式を、さらに図2に示す式のように反転点から直線と多項式に回帰して用いた。この応力-ひずみ関係は、塑性ひずみ振幅の影響を受けると思われるが、ここでは簡単のために、降伏後の応力-ひずみ関係式は塑性ひずみ振幅によらず一定とした。(塑性ひずみ振幅は降伏ひずみの2倍)また、応力値は降伏応力度よりは大きくならないものとした。

4. 数値計算

i) $\alpha = 0$ 、バウシンガー効果を考慮しない場合

細長比が小さい場合には、曲げ振動の増幅は小さく軸力による断面の塑性化が支配的である。細長比が大きい場合には、パラメトリック共振による曲げ振動の増幅が大きくなり、断面は曲げによる塑性化が支配的である。たしかに、いずれの場合も $\tau = 1.0$ (静的耐荷力に等しい)となる。でも柱は崩壊には至らなかつた。

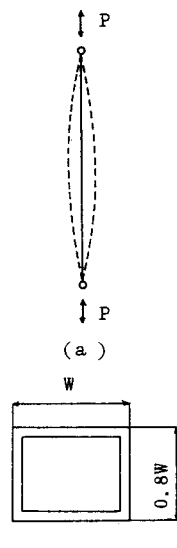


図-1 解析モデル

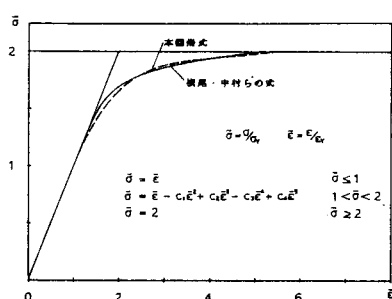


図-2 バウシンガー効果

ii) $\alpha = 0.5$, バウシンガー効果を考慮しない場合

細長比が 30, 60 のとき $\tau = 0.5$ では、断面の降伏は起こるが 10 サイクルでは崩壊には至らなかった。図 3 には $\lambda = 120$, $\tau = 0.3$ のときの応答を示している。(a) は柱中央部の水平方向応答変位を示しており、縦軸は変位を部材長で、横軸は時間を 1 次固有周期で無次元化している。(b) は柱中央断面の抵抗曲げモーメント - 曲率関係を示しており、縦軸、横軸はそれぞれ純曲げによる降伏モーメント、降伏曲率で無次元化している。(c) は同じく柱中央断面の応力 - ひずみ関係を示し、縦軸、横軸はそれぞれ降伏応力、降伏ひずみで無次元化している。いずれの図からも変形が発散して崩壊に至っていることがわかる。 $\lambda = 90$ のときは $\tau = 0.5$ で、 $\lambda = 150$ のときは $\tau = 0.3$ 以上で同様の崩壊性状を示している。

iii) $\alpha = 0$, バウシンガー効果を考慮した場合

細長比を 120, $\tau = 1.0$ のときの柱の応答を図 4 に示す。(a) は柱中央部の水平方向応答変位を示しており、図中の破線はバウシンガー効果を考慮しない場合の応答を示している。バウシンガー効果のために変形が大きくなっていることがわかる。柱は崩壊に至っている。(b) は柱中央断面の応力 - ひずみ関係を示している。降伏剛性からの逆負荷に際してはバウシンガー効果が現われている。細長比が 120, 150 のときは $\tau = 0.4$ 以上で、細長比が 90 以下では $\tau = 1.0$ で柱は崩壊している。塑性ひずみ振幅によらず、降伏後は応力 - ひずみ関係を一定としていることにより、強度を過小評価していると思われるが、バウシンガー効果による強度の低下を無視することはできないと思われる。

iv) $\alpha = 0.5$, バウシンガー効果を考慮した場合

$\alpha = 0$ のときのように大きくはないが、バウシンガー効果のために少し強度が低下している。しかし崩壊性状は、応力 - ひずみ関係を完全弾塑性型とした場合と違って、変位が大きく発散する前に崩壊に至っている。

5. あとがき

本研究で用いたバウシンガー効果は、强度を過小評価していると思われるが、柱の動的強度は、非周期性軸力、バウシンガー効果の影響を大きく受けうると予想される。

《参考文献》

- 倉西・中島：周期軸力に対する柱の動的強度について、第 36 回年講演要集、1981, 10
- 横尾・中村：H 形鋼柱の非定常履歴単軸応力 - ひずみ関係式、建論集、Vol. 26D, 1977, 10

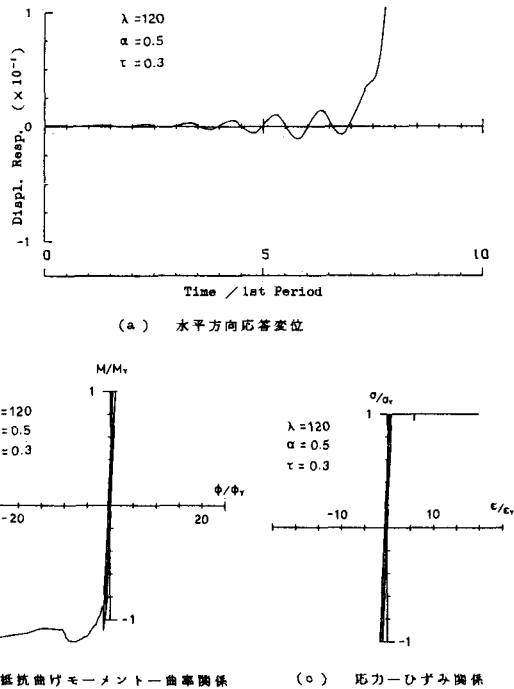


図-3 柱の応答

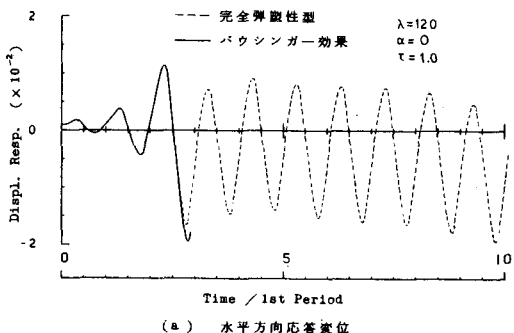


図-4 柱の応答